DES에 대한 양자회로 최적화 구현

Implementation of optimized quantum circuit for DES

송경주 * 엄시우 * 김상원 ** 서화정 *[†] * 한성대학교 대학원 정보컴퓨터공학과

** 한성대학교 대학원 암호보안학과

** 한성대학교 대학원 IT융합공학부

요약

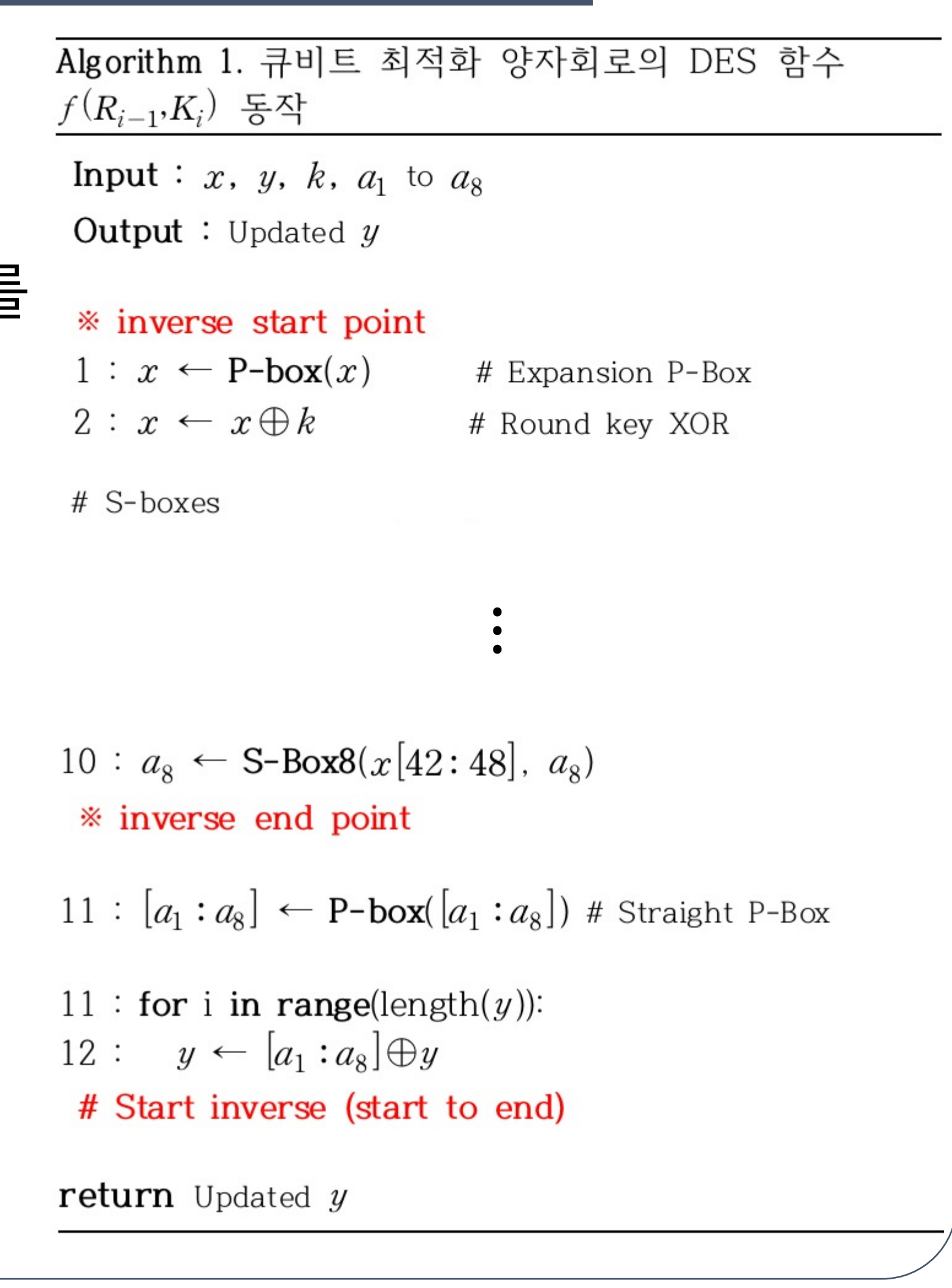
- DES 암호를 타겟으로 큐비트 및 depth에 최적화된 양자회로를 제안하고 요구되는 양자자원을 추정
- 큐비트 최적화 DES 양자회로에서 큐비트가 5,832개 (약 87.72%), Depth 최적화 DES 양자회로에서 Depth가 약 67.43% 감소한 결과를 보임

서론

- 양자컴퓨터의 등장은 현재 사용하는 대칭키 암호 및 공개키 암호의 안전성에 위협이 되고 있음
- 사용하는 암호를 양자회로로 구현하고 양자자원을 추정함으로서 대상 암호가 양자컴퓨터 공격으로부터 위험할 시기를 예측하고 이에 대응가능
- 가용 큐비트가 증가하더라도 양자회 로의 Depth가 크면 오류 발생률이 커져 유효한 결과를 도출하기 어려우므로 큐비트 수 최적 화 및 Depth 최적화 모두 중요하게 연구되어야 할 분야
- DES 양자 회로에 대한 효율적인 양자회로를 제시하고 동작에 필요한 양자자원을 추정
- 큐비트 및 양자회로 Depth에 최적화된 양자회로를 각각 제시: 유사한 핵심 연산을 갖지만 DES 함수 $f(R_{i-1}, K)$ 에서 구조적인 차이를 보임

큐비트 최적화 양자회로

- 각 S-box의 연산들을 역연산에 포함하여 사용한 ancilla 큐비트를 다음 라운드에서 다시 재사용할 수 있도록 inverse point 설정 (inverse end point를 S-Box 이후로 설정)
- 큐비트 수 6,720 (a₁~ a₈
 (448)×round (15))개 줄어듦
- S-box 역연산에 요구되는 depth가 증가함



Depth 최적화 양자회로

- S-Box 연산들을 역연산에 포함하지 않아 사용한 ancilla 큐비트를 재사용 불가능 (inverse end point를 S-Box 이전으로 설정)
- 매 라운드마다 S-box의 연산에 필요한 ancilla (a_1 to a_8)를 할당하여 사용해야 함
- 큐비트 수 6,720 (a₀~ a₈
 (448)×round (15))개 증가됨
- S-Box 역 연산에 필요한 양자자원 및 depth를 포함하지 않아 DES 양자회로 depth가 줄어듦
- Algorithm 2. Depth 최적화 양자회로의 DES 함수 $f(R_{i-1},K_i)$ 동작 Input : x, y, k, a_1 to a_8 Output: Updated y * inverse start point $1: x \leftarrow P-box(x)$ # Expansion P-box $2: x \leftarrow x \oplus k$ # Round key XOR * inverse end point # S-boxes 10: $a_8 \leftarrow \text{S-Box8}(x[42:48], a_8)$ 11 : $[a_1 : a_8] \leftarrow \text{P-box}([a_1 : a_8]) \text{ # Straight P-box}$ 11 : for i in range(length(y)): $12: \quad y \leftarrow [a_1:a_8] \oplus y$ # Start inverse (start to end) return Updated y

결 론

- 큐비트 최적화 양자회로: 약간의 양자 게이트 trade-off를 통해 사용 큐비트를 5,832개 (약 87.72%) 줄임 (Depth도 약 32.54% 감소)
- Depth 최적화 양자회로: 사용된 큐비트가 888개(약 13.36%) 늘었지만 Depth가 약 67.43% 감소함

| Algorithm | | Quantum resources | | | | |
|-----------|---------------------|-------------------|--------|--------|---------|-------|
| | | Qubit | X | CNOT | Toffoli | Depth |
| DES | [8] | 6,648 | 7,552 | 8,032 | 3,536 | 3,205 |
| | Our (Qubit Opt.) | 816 | 11,232 | 20,160 | 6,848 | 2,162 |
| | Our (Depth Opt.) | 7,536 | 7,184 | 12,992 | 3,424 | 1,044 |